

## I-2

## 円形・橢円形の剛体 Inclusion または Cavity を有する問題の解析解

金沢大学大学院 学生員 木村清和  
 山梨大学工学部 正員 平島健一  
 金沢大学教育学部 広瀬幸雄

## 1. まえがき

二次元平面状態下の領域の有限位置に集中力、集中偶力、点転位等の特異荷重(擾乱)が作用した場合の標題の問題の解析解は工学的な各種の問題を解くのに重要な役割をはたすものであり、その正しい解の検討と基本的な力学的特性を調べておくことは今後の利用に際しても必要である。現在までに、それらの解析解はDundurs & Mura(1964), List(1969), Vitek(1976), 村上(1977), Santare & Keer(1986), Chen & Cheung(1987)およびMiller & Young(1987)らの研究者によって部分的に報告されているが、次節でみるようそれらの解の間には各種レベルの差異が認められる。ここでは、それらを統一的に整理し筆者らの結果も含めて相互の関連性について比較検討することを目的とする。

## 2. 従来までに求められた解析解

Fig.1 のように橢円形境界  $L$  を有する実領域を複素平面  $z=x+iy$  とし、この  $z$  平面を  $\zeta$  平面上に写像する写像関数を  $\omega(\zeta)$  とする。境界  $L$  の外部領域の点  $z_0$  に図中に示したような集中力、転位等が作用した場合の曲線座標系  $(\xi, \eta)$  における任意点の応力、変位は次式で求められる。

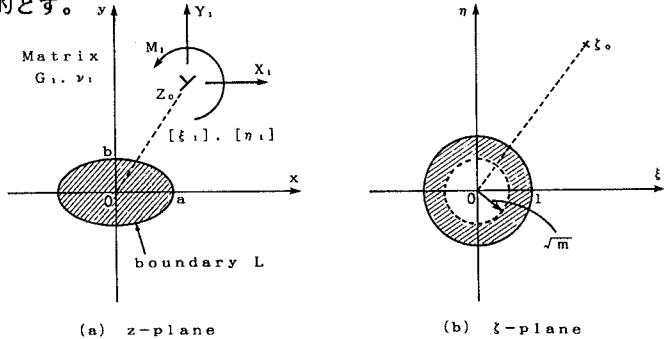


Fig. 1

$$u_x - z u_y = (u_x - z u_y) e^{i\psi} = \frac{1}{2G} (x \Phi(\zeta) - (\overline{\omega(\zeta)} \cdot \Phi^I(\zeta) + \Psi^I(\zeta))) e^{i\psi}$$

$$\sigma_\eta - \sigma_\xi + 2i\tau_{\xi\eta} = (\sigma_y - \sigma_x + 2i\tau_{xy}) e^{2i\psi} = 2\{\overline{\omega(\zeta)} \cdot \Phi^H(\zeta) + \Psi^H(\zeta)\} e^{2i\psi}$$

$$\sigma_\xi + \sigma_\eta = \sigma_x + \sigma_y - 4\operatorname{Re}[\Phi^I(\zeta)] \quad , \quad e^{i\psi} = \frac{\zeta}{|\zeta|} \cdot \frac{\omega'(\zeta)}{|\omega'(\zeta)|} \quad , \quad e^{2i\psi} = \frac{\zeta}{\xi} \cdot \frac{\omega'(\zeta)}{\omega'(\zeta)} \quad .$$

ここに、 $G, \nu$  はせん断弾性係数、ポアソン比、 $\kappa=3-4\nu$  (平面ひずみ)  
 $\kappa=(3-\nu)/(1+\nu)$  (平面応力) である。上式を基本式として各研究者によつて用いられた文字記号および求められた複素ボテンシャル等を一覧表としたものがTable 1 (a)~(d)である。各研究者の間で若干の差異ないし間違い等が認められる。Fig.2 は集中力  $x_1$  が作用した場合の孔周縁における応力  $\sigma_\eta$  の分布図の一例を示したものである。

## 参考文献:

- Chen, YZ & Cheung, YK (1987) : Eng. Fract. Mech., Vol. 26, pp. 729-739.  
 Dundurs, J. & Mura, T. (1964) : J. Mech. Phys. Solids, Vol. 12, pp. 177-189.  
 List, RD (1969) : Proc. Comb. Phil. Soc., Vol. 65, pp. 823-830.  
 Miller, GR & Young, RP (1987) : J. Appl. Mech., Vol. 54, pp. 738-740.

村上敬宣 (1977) : 日本機械学会論文集(第一部)第43巻, 370号, pp. 2022-2031. Santare, MH & Keer, LM (1986) : J. Appl. Mech., Vol. 53, pp. 382-385. Vitek, V. (1976) : J. Mech. Phys. Solids, Vol. 24, pp. 263-275.

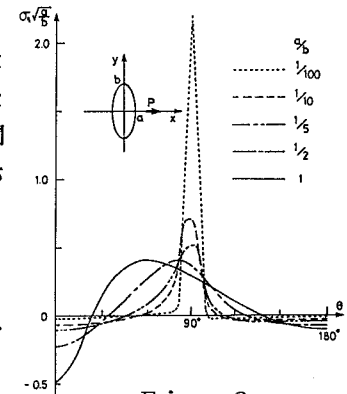


Fig. 2

Table 1 (a) 名著者による特異項表示記号の相互関係 (円孔周辺)

Table 1 (b) 自由境界の格円孔問題

著者名	特異項の俫数	集中力とdislocations (その1)	著者らの記 等との関連	集中力とdislocations (その2)	著者らの記 等との関連	集中力とdislocation dilatation (回転)
筆者ら (1989年)	$K = \frac{1}{2\pi(\kappa+1)}[G(1-\zeta_0)]$	——	$N = \frac{1}{2\pi(\kappa+1)}[G(1-\zeta_0)(1-\zeta_0)]$	——	$N = \frac{1}{2\pi(\kappa+1)}[G(1-\zeta_0)(1-\zeta_0)]$	$\frac{\zeta(\zeta+\frac{1}{2})}{2} \cdot *1$
(1)	$A = \frac{A(\zeta_0+1)(\zeta_0)}{\zeta(\kappa+1)} - \frac{X_0 + Y_0}{2\pi(\kappa+1)}$	——	$B = \frac{B((\zeta_0+1)(\zeta_0)) + \zeta(X_0+Y_0)}{2\pi(\kappa+1)} - i\zeta(\kappa+1)$	= N	——	$M = \frac{(G_0, V_0) - (\zeta_0^2, \zeta_0^2) - \zeta_0^2 V_0}{(1-\zeta_0^2)(K(\zeta_0))}$
(2)	$C = \frac{C(\zeta_0+1)(\zeta_0)}{\zeta(\kappa+1)} + \frac{X_0 + Y_0}{2\pi(\kappa+1)}$	= M	$D = \frac{D((\zeta_0+1)(\zeta_0)) + \zeta(X_0+Y_0)}{2\pi(\kappa+1)} - i\zeta(\kappa+1)$	= N	——	$\overline{M} = -\ln(1 - \frac{R^2}{\zeta_0^2})$
(3)	$I_{\text{list}}$ (1989年)	$X + Y + iB_0$	$H = \frac{H}{8\pi} - \frac{i\zeta_0}{8\pi}(\zeta_0+1)$	$N = \frac{N}{8\pi} - \frac{i\zeta_0}{8\pi}(\zeta_0+1)$	$\Phi = \frac{\Phi}{8\pi} - \frac{i\zeta_0}{8\pi}$	$N = \ln(\zeta - \zeta_0)$
(4)	村上 (1977年)	$H = \frac{H}{8\pi} - \frac{i\zeta_0}{8\pi}(\zeta_0+1)$	$N = \frac{N}{8\pi} - \frac{i\zeta_0}{8\pi}(\zeta_0+1)$	$\Phi = \frac{\Phi}{8\pi} - \frac{i\zeta_0}{8\pi}$	——	$\overline{N} = 0$
(5)	Vitek (1976年)	$\Phi = \frac{\Phi}{8\pi} - \frac{6}{2\pi}[(b_0 - \frac{F_0}{R}) + (a_0 - \frac{E_0}{R})]$	$H = \frac{H}{8\pi} - \frac{1}{2\pi}(\zeta_0 - \zeta_0)^2$	$N = \frac{N}{8\pi} - \frac{1}{2\pi}(\zeta_0 - \zeta_0)^2$	$\Psi = \frac{\Psi}{8\pi} - \frac{1}{2\pi}(\zeta_0 - \zeta_0)^2$	$\overline{L} = \frac{1}{(\zeta_0^2 - 1) - \overline{a}\zeta_0} \ln(\frac{R^2}{\zeta_0^2} - \zeta_0^2 + \overline{a}\zeta_0) \ln(-\zeta_0)$

\*1 :  $b_0 + i b_0$  と表されているが、 $-b_0 + i b_0$  が正しい。  
\*2 :  $K' = (K \text{ の複共役})$  は Table 1(c) に示すように center of dilatation を表す。

$$\alpha : \alpha = \frac{c}{2}(R + \frac{1}{R}), \quad b = \frac{c}{2}(R - \frac{1}{R}), \quad R = \sqrt{(\alpha + b)/(\alpha - b)}$$

$$\alpha_2 : R = \frac{1}{2}(\alpha + b), \quad n = (\alpha - b)/(\alpha + b)$$

$$\alpha_3 : A = \frac{1}{(1-\alpha^2)(1-\zeta_0^2)}$$

$$\alpha_4 : \Phi = \frac{c}{2}(R^2/\zeta_0^2) - \frac{1}{\zeta_0^2}$$

Table 1 (d) 精円剛体 inclusion 問題 (Perfect Bond Interface)

著者名	筆者ら (1989年)	Santare & Keer (1986年)
T	$\ln(\zeta - \zeta_0) + \frac{1}{\kappa_1} \ln(1 - \frac{1}{\zeta \zeta_0})$	$\ln(\zeta - \zeta_0) + \frac{1}{\kappa_1} \ln(1 - \frac{1}{\zeta \zeta_0}) + \frac{1}{\kappa_1} \ln R_0$
$\overline{T}$	$\frac{1}{\kappa_1} \cdot \frac{(\frac{R^2}{\zeta_0^2} - \frac{1}{\zeta_0^2})(\zeta_0 - \frac{1}{\zeta_0^2})}{(\frac{R^2}{\zeta_0^2} - \zeta_0)(\zeta_0 - \frac{1}{\zeta_0^2})} + \frac{1}{\kappa_1} \cdot \frac{1}{\zeta_0^2}$	$\frac{\kappa_1 \cdot (\frac{R^2}{\zeta_0^2} - \zeta_0)(\zeta_0 - \frac{1}{\zeta_0^2})}{(\frac{R^2}{\zeta_0^2} - \zeta_0)(\zeta_0 - \frac{1}{\zeta_0^2})} + \frac{1}{\kappa_1} \cdot \frac{1}{\zeta_0^2}$
$\Phi(\zeta)$	$\frac{2G_0 R_0}{\kappa_1} \cdot \frac{\zeta}{\zeta_0}$	$\frac{\ln(\zeta - \zeta_0)}{\frac{(\zeta - \zeta_0)(\zeta_0 - \frac{1}{\zeta_0^2})}{(\frac{R^2}{\zeta_0^2} - \zeta_0)(\zeta_0 - \frac{1}{\zeta_0^2})}}$
$\overline{\overline{T}}$	$\frac{1}{\kappa_1} \cdot \frac{1}{(\zeta_0 - \zeta_0)^2 + \frac{1}{\zeta_0^2}}$	$\frac{1}{\kappa_1} \cdot \frac{1}{(\zeta_0 - \zeta_0)^2 + \frac{1}{\zeta_0^2}}$
$\overline{T}$	$\ln(\zeta - \zeta_0) + \kappa_1 \ln(1 - \frac{1}{\zeta_0^2}) + \frac{1}{\kappa_1} \cdot \frac{1}{\zeta_0^2}$	$\ln(\zeta - \zeta_0) + \kappa_1 \ln(1 - \frac{1}{\zeta_0^2}) + \kappa_1 R_0$
$\Psi(\zeta)$	$2G_0 R_0 \cdot \frac{1}{\zeta}$	$2G_0 R_0 \cdot \frac{1}{\zeta}$
$\overline{\overline{K}}$	$\frac{1}{\kappa_1} \cdot \frac{1}{(\zeta_0 - \zeta_0)^2 + \frac{1}{\zeta_0^2}}$	$\frac{1}{\kappa_1} \cdot \frac{1}{(\zeta_0 - \zeta_0)^2 + \frac{1}{\zeta_0^2}}$

\*1 :  $\sigma = \frac{c}{2}(R + \frac{1}{R}), \quad b = \frac{c}{2}(R - \frac{1}{R}), \quad R = \sqrt{(\alpha + b)/(\alpha - b)}$   
\*2 :  $R = \frac{1}{2}(\alpha + b), \quad n = (\alpha - b)/(\alpha + b)$  の意味がある。  
\*3 :  $\Psi = \frac{1}{2}(\zeta_0 - \zeta_0)^2$  が成立する。

両端無限下端部 (——線) の意味がある。

$$\alpha_1 : \alpha = \frac{c}{2}(R + \frac{1}{R}), \quad b = \frac{c}{2}(R - \frac{1}{R}), \quad R = \sqrt{(\alpha + b)/(\alpha - b)}$$

$$\alpha_2 : R = \frac{1}{2}(\alpha + b), \quad n = (\alpha - b)/(\alpha + b)$$

著者名	筆者ら (1989年)	村上 (1977年)	Vitek (1976年)
$\theta(\zeta)$	$\frac{\zeta(\zeta + \frac{1}{2})}{2} \cdot *1$	$\frac{\zeta(\zeta + \frac{1}{2})}{2} \cdot *1$	$R(\zeta + \frac{3}{2}) \cdot *2$
$\overline{\overline{\theta}}(\zeta)$	$\frac{R^2}{\zeta_0^2} \cdot \frac{\zeta}{\zeta_0}$	$\frac{R^2}{\zeta_0^2} \cdot \frac{\zeta}{\zeta_0}$	$\frac{R^2}{\zeta_0^2} \cdot \frac{\zeta}{\zeta_0}$
$\overline{K}$	$\frac{1}{\kappa_1} \cdot \frac{1}{(\zeta_0 - \zeta_0)^2 + \frac{1}{\zeta_0^2}}$	$\frac{1}{\kappa_1} \cdot \frac{1}{(\zeta_0 - \zeta_0)^2 + \frac{1}{\zeta_0^2}}$	$\frac{1}{(\zeta_0 - \zeta_0)^2 + \frac{1}{\zeta_0^2}}$
$\overline{T}$	$\ln(\zeta - \zeta_0) + \kappa_1 \ln(1 - \frac{1}{\zeta_0^2}) + \frac{1}{\kappa_1} \cdot \frac{1}{\zeta_0^2}$	$\ln(\zeta - \zeta_0) + \kappa_1 \ln(1 - \frac{1}{\zeta_0^2}) + \kappa_1 R_0$	$-\ln(1 - \frac{R^2}{\zeta_0^2})$
$\overline{\overline{\Psi}}(\zeta)$	$2G_0 R_0 \cdot \frac{1}{\zeta}$	$2G_0 R_0 \cdot \frac{1}{\zeta}$	$-\frac{1}{R^2} \cdot \frac{1}{R^2} + \frac{1}{\zeta_0^2} \cdot \frac{1}{\zeta_0^2}$
$\overline{\overline{K}}$	$\frac{1}{\kappa_1} \cdot \frac{1}{(\zeta_0 - \zeta_0)^2 + \frac{1}{\zeta_0^2}}$	$\frac{1}{\kappa_1} \cdot \frac{1}{(\zeta_0 - \zeta_0)^2 + \frac{1}{\zeta_0^2}}$	$-\frac{1}{(\zeta_0 - \zeta_0)^2 + \frac{1}{\zeta_0^2}}$

$$\alpha_1 : \alpha = \frac{c}{2}(R + \frac{1}{R}), \quad b = \frac{c}{2}(R - \frac{1}{R}), \quad R = \sqrt{(\alpha + b)/(\alpha - b)}$$

$$\alpha_2 : R = \frac{1}{2}(\alpha + b), \quad n = (\alpha - b)/(\alpha + b)$$